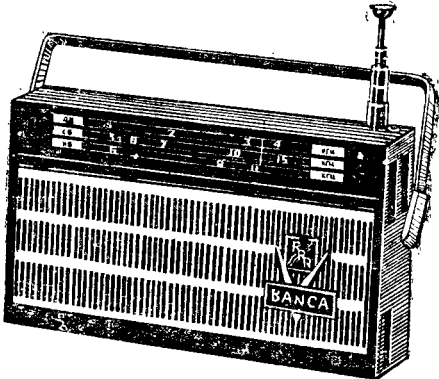


**«БАНГА»**  
**(Выпуск 1965 г.)**



**ОСНОВНЫЕ ТЕХНИЧЕСКИЕ ДАННЫЕ**

Радиоприемник «Банга» (рис. 3.50) представляет собой малогабаритный супергетеродин переносного типа на десяти транзисторах.

Радиоприемник предназначен для приема передач радиовещательных станций с амплитудной модуляцией в диапазонах длинных и средних волн на внутреннюю магнитную антенну и в диапазоне коротких волн (24,8—50 м, т. е. 12,2—5,9 Мгц) на штыревую телескопическую антенну.

**Максимальная чувствительность:**

на длинных волнах . . . . .	600 мкв/м
на средних волнах . . . . .	200 мкв/м
на коротких волнах . . . . .	20 мкв

**Реальная чувствительность:**

на длинных волнах . . . . .	1,5 мв/м
на средних волнах . . . . .	0,6 мв/м
на коротких волнах . . . . .	35 мкв

**Избирательность по соседнему каналу:**

на длинных и средних волнах . . . . .	не менее 30 дб
---------------------------------------	----------------

**Ослабление сигнала зеркального канала:**

на длинных и средних волнах . . . . .	не менее 20 дб
---------------------------------------	----------------

на коротких волнах . . . . .	не менее 12 дб
------------------------------	----------------

465 кгц

**Промежуточная частота . . . . .**

**Действие АРУ: при изменении сигнала на входе приемника на 26 дб соответствующее изменение сигнала на выходе приемника**

не более 6 дб

**Полоса воспроизводимых звуковых частот: 350—3 500 гц**

**Номинальная выходная мощность при коэффициенте нелинейных искажений тракта усиления приемника не более 6% . . . . .**

100 мвт

Источник питания: шесть элементов типа .316  
 Напряжение питания . . . . .  
 Ток, потребляемый приемником при отсутствии сигнала . . . . .  
 Работоспособность приемника сохраняется при снижении напряжения батареи питания  
 Длительность работы приемника при средней громкости . . . . .  
 Габаритные размеры . . . . .  
 Масса . . . . .

9 в  
 не более 8,5 ма  
 до 5,6 в  
 до 50 час  
 190×110×52 мм  
 800 г

## ПРИНЦИПИАЛЬНАЯ СХЕМА ПРИЕМНИКА

### ВХОДНАЯ ЦЕПЬ

Катушки входных контуров длинных  $L_1$  и средних  $L_5$  волн и соответствующие им катушки связи  $L_2$  и  $L_6$  размещены на ферритовом стержне магнитной антенны (рис. 3.51). При работе на диапазоне ДВ катушки  $L_1$  и  $L_5$  включаются последовательно, а в диапазоне СВ катушка  $L_1$  замыкается накоротко. Катушка входного контура диапазона КВ намотана на цилиндрическом каркасе и связана автотрансформаторно со штыревой антенной. Наружная антенна в диапазоне КВ подключается через конденсатор  $C_1$ , а в диапазонах ДВ и СВ — через конденсатор  $C_{11}$ .

### УСИЛИТЕЛЬ ВЧ

Усилитель ВЧ — апериодический, он собран на транзисторе  $T_1$  типа П423 по схеме с общим эмиттером. Нагрузкой его является входное сопротивление транзистора  $T_2$  и резистор  $R_4$ . Усилитель ВЧ усиливает сигнал в 3—4 раза и позволяет повысить реальную чувствительность приемника. Кроме того, приемник с усилителем ВЧ меньше подвержен воздействию помех от перекрестной модуляции и побочных каналов приема (на гармониках гетеродина).

Для повышения устойчивости работы приемника по промежуточной частоте, ослабления сигналов помех с частотой, равной промежуточной, применен последовательный контур  $L_8C_{20}$ , настроенный на частоту 465 кгц.

Максимальная чувствительность приемника по промежуточной частоте при расстроенном контуре  $L_8C_{20}$  с базы транзистора  $T_1$  1—3 мкв при выходном напряжении на нагрузке усилителя НЧ 225 мв.

### ПРЕОБРАЗОВАТЕЛЬ ЧАСТОТЫ

Преобразователь частоты собран по схеме с отдельным гетеродином на транзисторах типа П423 (транзистор  $T_2$  — смеситель,  $T_3$  — гетеродин). Гетеродин выполнен по схеме индуктивной трехточки. Напряжение входного сигнала, снимаемое с нагрузки усилителя ВЧ, подается на базу транзистора  $T_2$  смесителя частоты, а напряжение гетеродина — на его эмиттер. Оптимальное условие преобразования частоты выполняется при напряжении гетеродина на эмиттере транзистора  $T_2$  на диапазонах ДВ и СВ 250—300 мв, на диапазоне КВ 85—100 ма.

Нагрузкой смесителя частоты служит трехконтурный фильтр сосредоточенной селекции (ФСС), который обеспечивает избирательность приемника по соседнему каналу. Связь коллекторной цепи с первым контуром ФСС трансформаторная. Для устранения паразитного резонанса в диапазоне КВ катушка

связи зашунтирована конденсатором  $C_{24}$  1000 пФ. Ширина полосы пропускания ФСС (7,5—8 кгц на уровне —6 дБ) определяется величинами емкостей конденсаторов  $C_{27}$  и  $C_{30}$ .

### СТАБИЛИЗАТОР НАПРЯЖЕНИЯ ПИТАНИЯ

Стабилизатор напряжения предназначен для повышения стабильности частоты гетеродина ( $T_3$ ), устойчивости работы усилителя ВЧ ( $T_1$ ) и смесителя ( $T_2$ ) при изменении напряжения питания. Он собран на транзисторе  $T_4$  типа П41 и диоде  $D_1$  типа Д101. Схема стабилизатора такая же, как в приемнике «Спидола» (стр. 231, рис. 3.42).

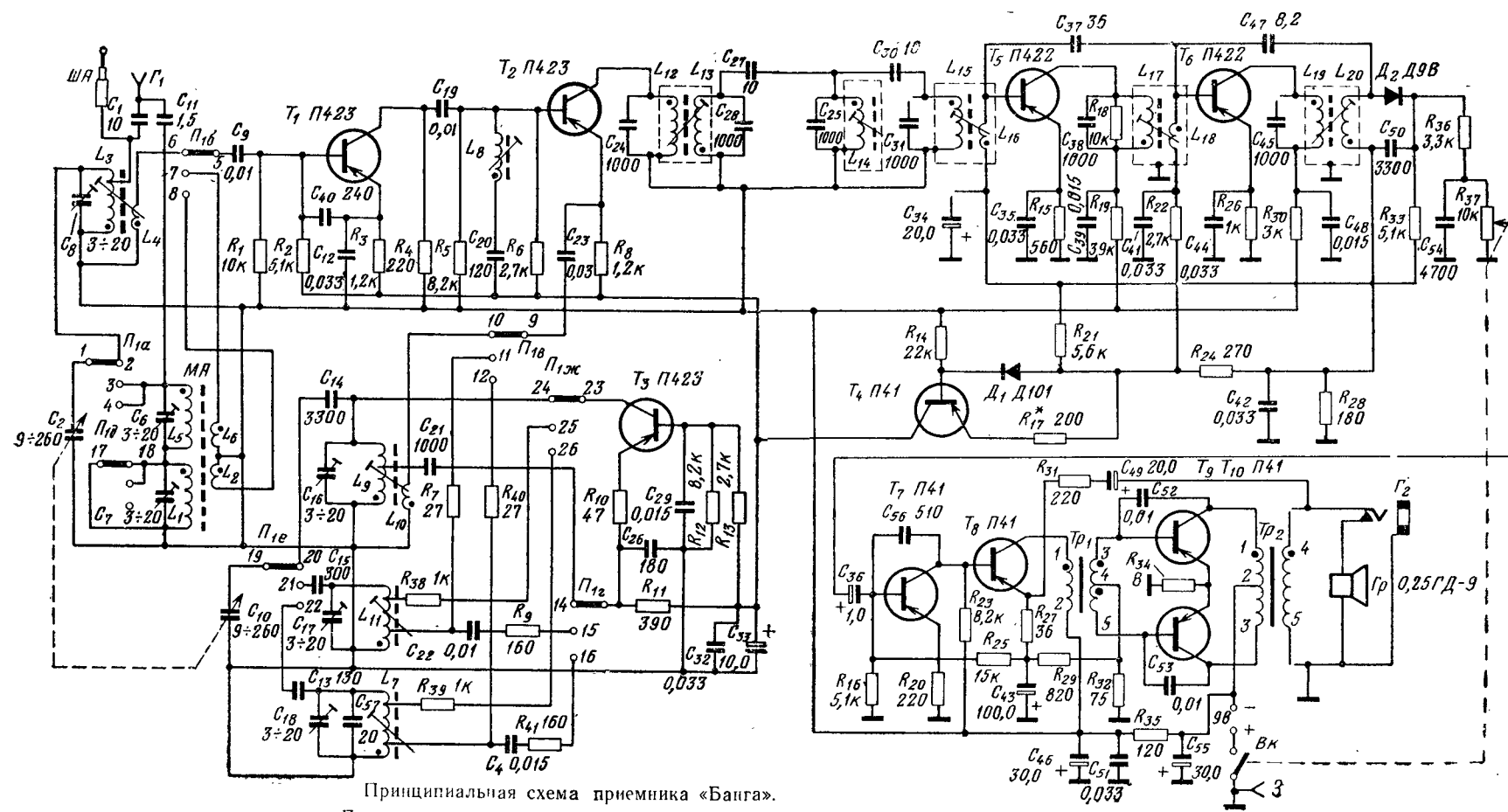
### УСИЛИТЕЛЬ ПЧ И ДЕТЕКТОР

Двухкаскадный усилитель промежуточной частоты собран на транзисторах  $T_5$  и  $T_6$  типа П422. Оба каскада усилителя ПЧ выполнены по резонансной схеме с нейтрализацией. Для нейтрализации действия внутренней обратной связи транзисторов  $T_5$  и  $T_6$  используются конденсаторы  $C_{37}$  и  $C_{47}$ . Нагрузкой транзисторов усилителя ПЧ служат широкополосные контуры  $L_{17}C_{38}$  с полосой пропускания 15—20 кгц и  $L_{19}C_{45}$  с полосой пропускания 35—40 кгц (на уровне —3 дБ). Для питания базовых цепей транзисторов  $T_5$  и  $T_6$  используется стабилизированное напряжение, снимаемое с резисторов  $R_{24}$  и  $R_{28}$ , что резко снижает зависимость усиления каскадов ПЧ при снижении напряжения источника питания.

Детектор приемника выполнен на диоде  $D_2$  типа Д9В. Нагрузкой детектора служит переменный резистор  $R_{37}$ , с которого через разделительный конденсатор  $C_{36}$  напряжение звуковой частоты подается на базу транзистора первого каскада усилителя НЧ. Для автоматической регулировки усиления используется постоянная составляющая тока диода  $D_2$ , с помощью которой регулируется базовый ток транзистора первого каскада усилителя ПЧ. Напряжение АРУ снимается с нагрузки детектора  $D_2$  и через фильтр  $R_{33}C_{34}$  подается на базу транзистора  $T_5$ .

### УСИЛИТЕЛЬ НИЗКОЙ ЧАСТОТЫ

Трехкаскадный усилитель низкой частоты собран на транзисторах  $T_7$ ,  $T_8$ ,  $T_9$  и  $T_{10}$  типа П41. Первый и второй каскады усилителя НЧ выполнены по схеме с непосредственной связью. Для увеличения входного сопротивления усилителя НЧ и уменьшения влияния разброса параметров транзисторов на усиление в цель эмиттера транзистора  $T_7$  включен резистор  $R_{20}$ . Напряжение смещения на базу транзистора первого каскада усилителя НЧ ( $T_7$ ) подается из эмиттерной цепи транзистора  $T_8$ , благодаря чему осуществляется отрицательная обратная связь по постоянному току между этими двумя каскадами. В коллекторную цепь транзистора  $T_8$  включен согласующий трансформатор  $T_{P1}$ . Выходной каскад усилителя НЧ выполнен на транзисторах  $T_9$  и  $T_{10}$  по двухтактной схеме и работает в режиме усиления класса АВ. Два последних каскада усилителя НЧ охвачены частотонезависимой отрицательной обратной связью, напряжение которой снимается со вторичной обмотки выходного трансформатора  $T_{P2}$  и через цепочку  $C_{48}R_{31}$  подается на эмиттер транзистора  $T_8$ . Напряжения смещения на базы транзисторов  $T_9$  и  $T_{10}$  выходного каскада снимаются с резистора  $R_{32}$ , включенного в цель эмиттера транзистора  $T_8$ . Схема усилителя НЧ обеспечивает стабилизацию рабочей точки выходного каскада без применения терморезистора, а также работу всего усилителя НЧ в интервале температур от —10 до +45° С.



Принципиальная схема приемника «Бапга».  
 Переключатель диапазонов установлен в положение КВ.

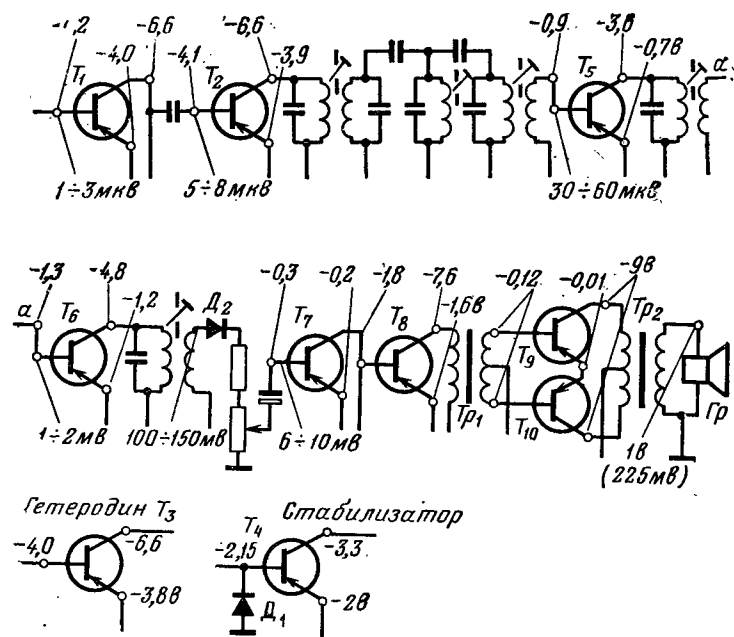


Рис. 3.52. Режимы работы транзисторов по постоянному току и уровни напряжения сигнала в тракте усиления приемника «Банга».

Для коррекции частотной характеристики усилителя НЧ и устранения фазового сдвига в области верхних звуковых частот применены конденсаторы C<sub>52</sub>, C<sub>53</sub> и C<sub>56</sub>.

Режимы работы транзисторов указаны на рис. 3.52. В приемнике предусмотрена возможность подключения малогабаритного телефона типа ТМ-2М. При включении телефона громкоговоритель автоматически отключается.

## КОНСТРУКЦИЯ И ДЕТАЛИ

Корпус приемника выполнен из цветного ударопрочного полистирола. В задней крышке имеется отсек для батареи источника питания. Органы управления (ручки грубої и плавной настройки и регулятора громкости с выключателем), гнезда для подключения наружной антенны  $\Gamma_1$ , провода заземления и телефона  $\Gamma_2$  расположены на боковых стенках приемника, а гнездо четырёхвойной антенны — на верхней стенке. Переключатель диапазонов расположен на задней крышке приемника. Шкала приемника на диапазонах ДВ и СВ проградуирована в килогерцах, а в диапазоне КВ — в мегагерцах. Монтаж приемника выполнен на печатной плате, изготовленной из фольгированного гетинакса.

Схема расположения узлов и деталей на печатной плате показана на рис. 3.53, а топографическая схема на рис. 3.54.

Настройка приемника на принимаемую радиостанцию осуществляется с помощью блока конденсаторов переменной емкости с воздушным диэлектриком емкостью 9—260 пФ. Для удобства плавной и точной подстройки приемника, особенно в диапазоне КВ, применен специальный верньер, имеющий замедление 1:3. Общее замедление всего верньерного устройства, кинемати-

ческая схема которого показана на рис. 3.56, составляет 1:20. Переключатель диапазонов продольно-движкового типа имеет семь групп переключения, на три положения (ДВ, СВ и КВ).

Магнитная антenna длинных и средних волн выполнена на ферритовом стержне марки 600НН длиной 160 мм и диаметром 8 мм. Катушки контуров гетеродина диапазонов ДВ и СВ намотаны на четырехсекционных каркасах, а катушки входного контура и гетеродина КВ намотаны на цилиндрических каркасах диаметром 6 мм и длиной 20 мм. Катушки контуров ФСС и ФПЧ намотаны на трехсекционных каркасах, каждый из которых помещен в ферритовые чашки из материала 600НН диаметром 8,6 мм. Настройка контуров коротких волн осуществляется подстроечными сердечниками из феррита марки 100ВЧ, а контуров ФСС, ФПЧ и гетеродинов ДВ и СВ — сердечниками из феррита марки 600НН.

Намоточные данные контурных катушек приведены в табл. 3.8. Трансформаторы усилителя НЧ  $T_{p1}$  и  $T_{p2}$  по конструкции однотипны. Сердечники их собраны из пластин пермаллоя марки 50Н типа ШБ, толщина набора 6 мм.

Таблица 3.8

Намоточные данные контурных катушек приемника «Банга»

Наименование катушки	Обозначение на схеме	Номера выводов	Марка и диаметр провода, мм	Число витков	Индуктивность, мкГн
Антennaя ДВ . . .	$L_1$	1—2	ПЭВ-2 0,15	$34 \times 7$	$3430 \pm 10\%$
Катушка связи . . .	$L_2$	3—4	ПЭВ-2 0,15	24	—
Входная КВ . . .	$L_3$	1—2—3	ПЭВ-2 0,23	$15,75 + 5,5$	$2,5 \pm 10\%$
Катушка связи . . .	$L_4$	4—5	ПЭЛШО 0,15	2,75	—
Антennaя СВ . . .	$L_5$	5—6	ПЭЛ 0,18	80	$340 \pm 10\%$
Катушка связи . . .	$L_6$	7—8	ПЭЛ 0,18	6	—
Гетеродинная ДВ	$L_7$	1—2—3—4	ПЭВ-2 0,09	$10 + 60 + 70$	$540 \pm 10\%$
ФПЧ . . . . .	$L_8$	1—2	ЛЭ 3×0,06	$80 \times 4$	$970 \pm 10\%$
Гетеродинная КВ	$L_9$	1—2—3	ПЭВ-2 0,23	$17,5 + 2,75$	$2,3 \pm 10\%$
Катушка связи . . .	$L_{10}$	4—5	ПЭЛШО 0,15	1	—
Гетеродинная СВ	$L_{11}$	1—2—3—4	ПЭВ-2 0,09	$3,5 + 22 + 56,5$	$190 \pm 10\%$
Катушка связи . . .	$L_{12}$	3—4	ПЭЛШО 0,1	$10 \times 3$	—
ФСС-1 . . . . .	$L_{13}$	1—2	ЛЭ 5×0,06	$20 \times 3$	$117 \pm 10\%$
ФСС-2 . . . . .	$L_{14}$	1—2	ЛЭ 5×0,06	70	$117 \pm 10\%$
ФСС-3 . . . . .	$L_{15}$	1—2	ЛЭ 5×0,06	70	$117 \pm 10\%$
Катушка связи . . .	$L_{16}$	3—4	ПЭЛШО 0,18	5	—
ФПЧ-1 . . . . .	$L_{17}$	1—2	ПЭВ-2 0,1	70	$117 \pm 10\%$
Катушка связи . . .	$L_{18}$	3—4	ПЭЛШО 0,1	15	—
ФПЧ-2 . . . . .	$L_{19}$	1—2	ПЭВ-2 0,1	$23 + 23 + 24$	$117 \pm 10\%$
Катушка связи . . .	$L_{20}$	3—4	ПЭЛШО 0,1	$24 + 23 + 23$	—

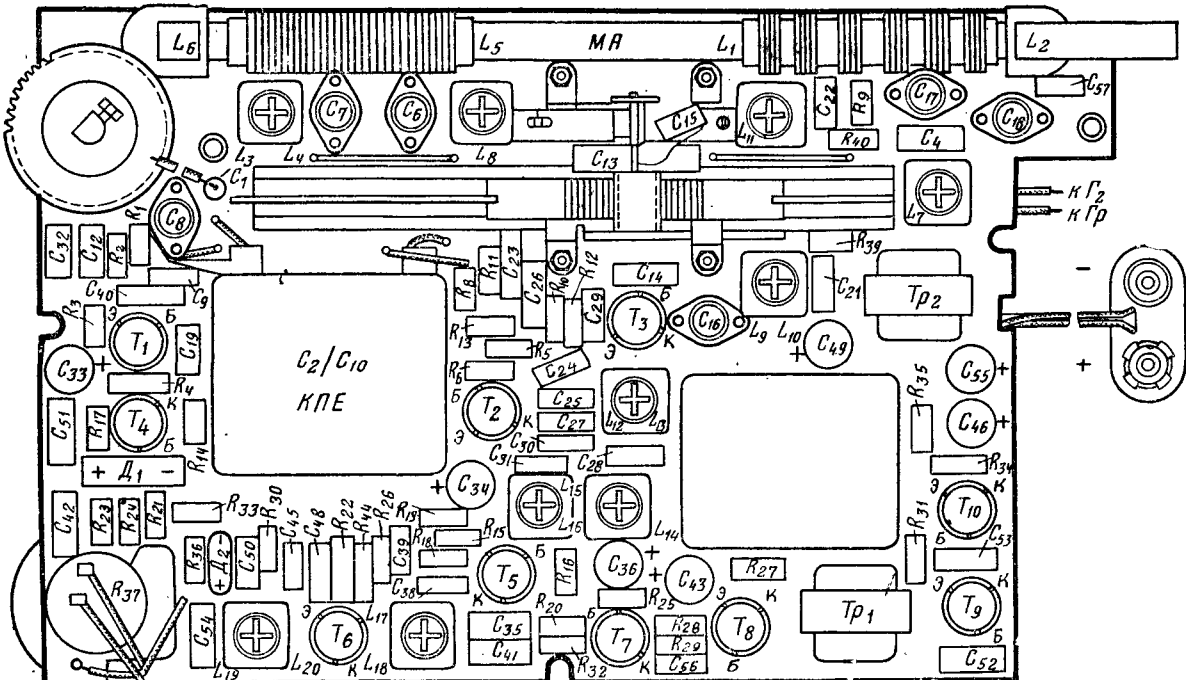


Рис. 3.53. Схема расположения узлов и деталей на печатной плате приемника «Банга».

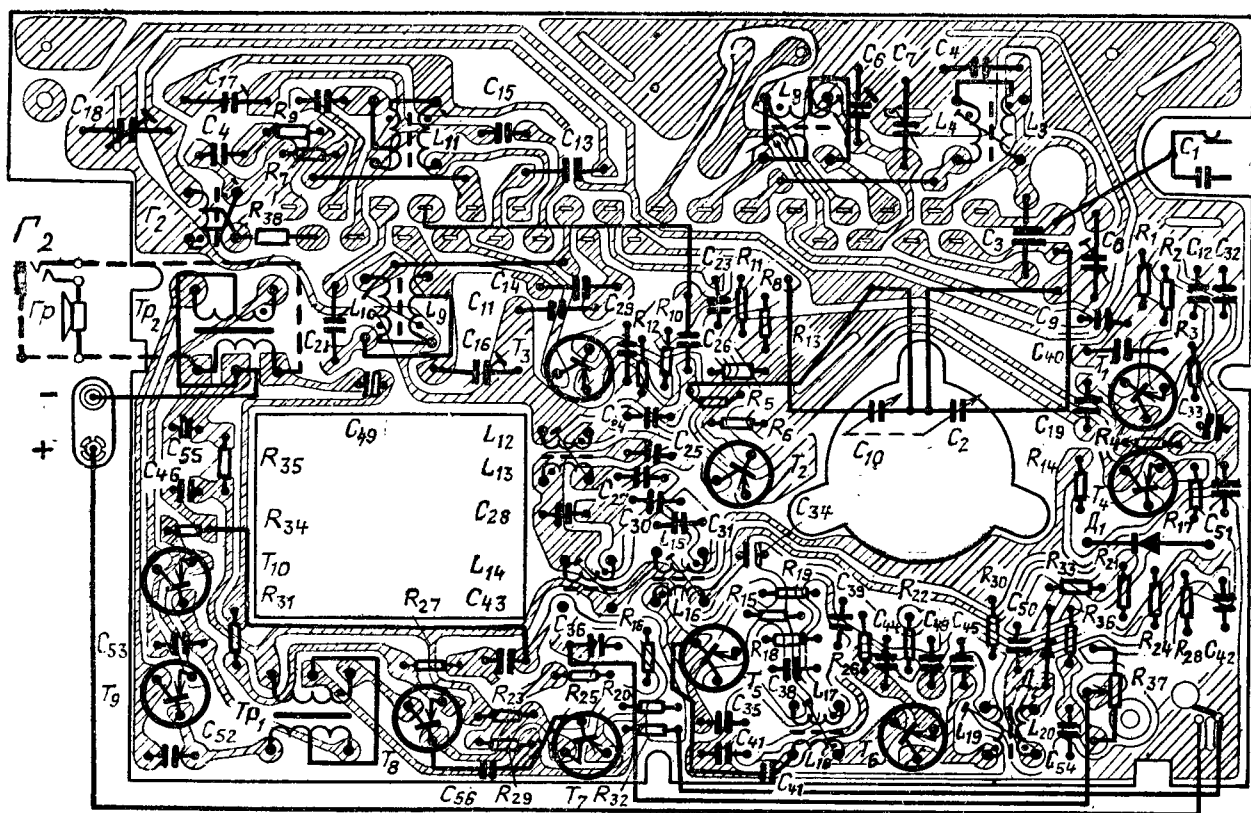
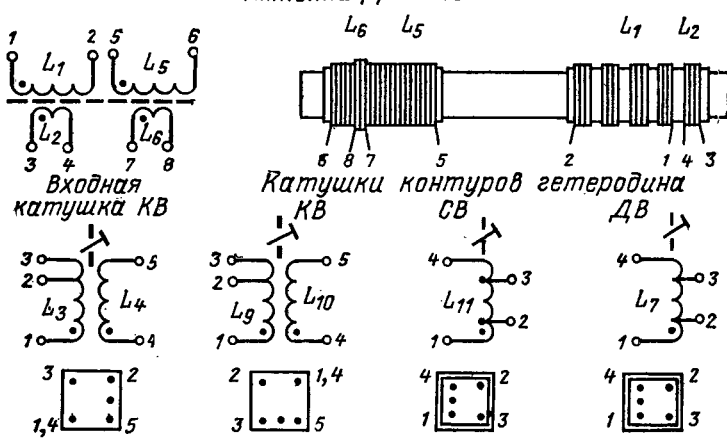
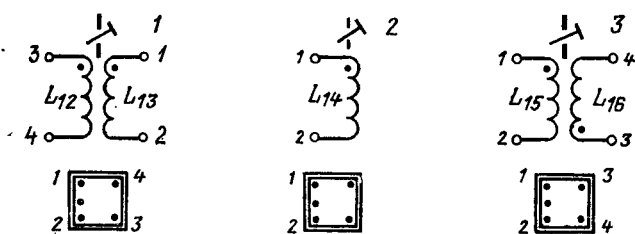


Рис. 3.54. Топографическая схема печатной платы приемника «Банга». Вид со стороны печати.

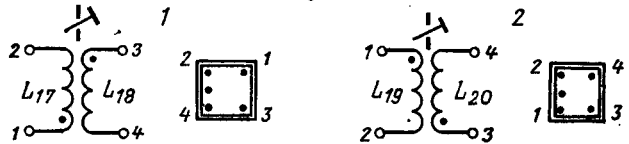
### Антенна ДВ и СВ



### Катушки ФСС



### Катушки ФЛЧ



### Трансформаторы НЧ

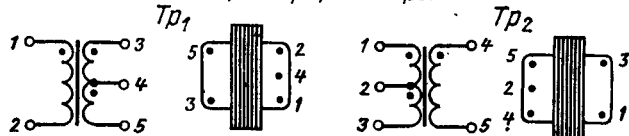


Рис. 3.55. Распайка выводов (вид снизу) катушек контуров и трансформаторов НЧ приемника «Банга».

Намоточные данные трансформаторов *Tp<sub>1</sub>* и *Tp<sub>2</sub>* приведены в табл. 9.3 и 9.4. Распайка выводов всех катушек контуров и трансформаторов приведена на рис. 3.55. Транзисторы на печатной плате приемника установлены в специальных трехконтактных панельках, которые имеют надежный контакт со схемой.

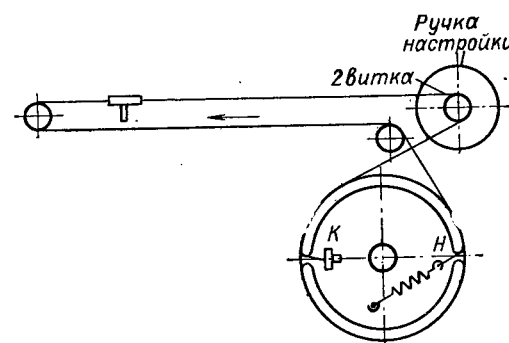


Рис. 3.56. Кинематическая схема верньерного устройства приемника «Банга». Стрелка указывает направление установки шнура.

В приемнике применены детали следующих типов:

резистор *R<sub>37</sub>* — типа СП3-4в, остальные резисторы — типа УЛМ-0,12; конденсаторы *C<sub>1</sub>*, *C<sub>11</sub>*, *C<sub>13</sub>*, *C<sub>15</sub>*, *C<sub>20</sub>*, *C<sub>26</sub>*, *C<sub>27</sub>*, *C<sub>30</sub>*, *C<sub>37</sub>*, *C<sub>40</sub>*, *C<sub>47</sub>* и *C<sub>57</sub>* — типа КТ-1а, *C<sub>6</sub>*, *C<sub>7</sub>*, *C<sub>8</sub>*, *C<sub>16</sub>*, *C<sub>17</sub>* и *C<sub>18</sub>* — типа КТ4-2, *C<sub>21</sub>*, *C<sub>24</sub>*, *C<sub>25</sub>*, *C<sub>28</sub>*, *C<sub>31</sub>*, *C<sub>38</sub>*, *C<sub>45</sub>* и *C<sub>56</sub>* — типа ПМ-1, *C<sub>4</sub>*, *C<sub>9</sub>*, *C<sub>12</sub>*, *C<sub>14</sub>*, *C<sub>22</sub>*, *C<sub>23</sub>*, *C<sub>29</sub>*, *C<sub>32</sub>*, *C<sub>35</sub>*, *C<sub>39</sub>*, *C<sub>41</sub>*, *C<sub>42</sub>*, *C<sub>44</sub>*, *C<sub>48</sub>*, *C<sub>50</sub>*, *C<sub>54</sub>*, *C<sub>51</sub>* и *C<sub>52</sub>* — типа КЛС либо К10-7в, электролитические конденсаторы *C<sub>33</sub>*, *C<sub>34</sub>*, *C<sub>36</sub>*, *C<sub>43</sub>*, *C<sub>46</sub>*, *C<sub>49</sub>* и *C<sub>55</sub>* — типа К50-6, *C<sub>2</sub>* и *C<sub>10</sub>* — блок КПЕ.